

تحلیل الگوی فضایی پرفشار جنب حاره بر روی آسیا و آفریقا

هوشنگ قائمی^{۱*}، آذر زرّین^۲، مجید آزادی^۳، منوچهر فرج زاده اصل^۴

۱- استاد جغرافیا و مشاور سازمان هواشناسی کشور، تهران، ایران

۲- دانشجوی دکتری اقلیم شناسی، دانشگاه تربیت مدرس، تهران، ایران

۳- استادیار پژوهشکده هواشناسی و علوم جوی سازمان هوا شناسی کشور، تهران، ایران

۴- استادیار گروه جغرافیا، دانشگاه تربیت مدرس، تهران، ایران

پذیرش: ۸۶/۱۰/۲۶

دریافت: ۸۶/۴/۱۰

چکیده:

به منظور بررسی زمانی و مکانی پرفشار جنب حاره بر منطقه آسیا- آفریقا، از داده‌های دوباره تحلیل شده میانگین ماهانه NCEP/NCAR با تفکیک افقی ۲/۵ درجه استفاده شد. ارتفاع ژئوپتانسیل و مؤلفه های مداری و نصف‌النهاری باد در ترازهای ۱۰۰۰، ۵۰۰، ۲۰۰ و ۱۰۰ هکتوپاسکال در یک دوره ۳۰ ساله (۱۹۷۱-۲۰۰۰) برای تعیین ویژگیهای جغرافیایی مرکز پرفشار، فراوانی آن و تعیین جایگاه خط پشته در محدوده ۷۰ درجه غربی تا ۱۲۰ درجه شرقی از آوریل تا اکتبر مطالعه شده قرار گرفت. نتایج نشان می‌دهد که تفاوت آشکاری در موقعیت استقرار مرکز پرفشار جنب حاره در ترازهای زیرین، میانی و فوقانی وردسپهر وجود دارد؛ به طوری که پرفشار جنب حاره‌ای آזור در شرق اقیانوس اطلس شمالی در تراز زیرین، پرفشار شمال غرب آفریقا و عربستان در تراز میانی و پرفشار تبت در تراز فوقانی وردسپهر به صورت مراکز مستقل جای گرفته، در صورتی که مرکز پرفشار ایران هم در تراز میانی و هم فوقانی وردسپهر مشاهده می‌شود. الگوی موقعیت جغرافیایی مرکز پرفشار در فصل تابستان در ترازهای ۱۰۰۰، ۵۰۰، ۲۰۰ و ۱۰۰ هکتوپاسکال بترتیب یک مُدی (شرق اقیانوس اطلس)، سه مُدی (شمال غرب آفریقا-عربستان- ایران)، پراکنده (از جنوب چین تا غرب ایران) و دو مُدی (فلات تبت- فلات ایران) است. بیشینه عرض جغرافیایی خط پشته پرفشار جنب حاره در تمامی

E-mail: hoo-ghaemi@yahoo.com

* نویسنده مسؤل مقاله:

ترازها مربوط به ماه اوت است که در تراز ۵۰۰، ۲۰۰ و ۱۰۰ هکتوپاسکال بترتیب روی ضلع شمالی فلات تب، منطقه وسیعی از شرق تا غرب آسیا و ایران قرار گرفته است. بیشترین جهش خط پشته از نظر عرض جغرافیایی در سه تراز ۵۰۰، ۲۰۰ و ۱۰۰ هکتوپاسکال از ماه ژوئن به ژوئیه است که در امتداد برخی نصف النهارها حتی به ۱۰ درجه نیز می‌رسد.

کلید واژه‌ها: پرفشار جنب حاره، اقلیم تابستانه، پرفشار ایران، پرفشار آزر، خط پشته.

۱- مقدمه

در بررسی گردش بزرگ مقیاس جو، کمربندهایی از پرفشار یا پراتفاح در حول وحوش عرضهای جغرافیایی ۳۰ درجه شمالی و جنوبی مشاهده می‌شوند که معمولاً به‌عنوان کمربندهای پرفشار جنب حاره خوانده می‌شوند. وجود ناهمواریها، تضاد خشکی- دریا، برهم کنش دریا- هوا، پوشش یخ دریا و برف و برخی عوامل دیگر بودجه انرژی جو را تغییر داده و کمربندها را به سلولهایی منفرد جدا می‌کند [۱، ص ۵۶۰]. این سلولها یا مراکز پرفشار در نیمه گرم سال نواحی وسیعی را در وردسپهر^۱ زیرین، میانی و فوقانی در بر می‌گیرند و استقرار دراز مدت آنها در نواحی جنب حاره سبب ایجاد مناطق بسیار خشک و بیابانی با حساسیت اکولوژیکی فوق العاده شده است؛ به طوری که وردشهای^۲ مکانی و تغییر شدت این مراکز و به‌تبع آن نابهنجاری در گردشهای منطقه‌ای و جهانی، تأثیر قابل ملاحظه‌ای بر وضعیت اقتصادی و اجتماعی مردم این نواحی دارد. از این رو، مطالعه این مراکز از دیرباز موضوع بسیاری از پژوهشهای هواشناختی و اقلیم شناختی بوده است.

در یکی از اولین مطالعات در سال ۱۹۳۹م، رید با بررسی دمای پتانسیل، نم ویژه و میدان باد ماههای ژوئیه و اوت ۱۹۳۶ و ۱۹۳۷ خاطر نشان می‌کند که ارتباط آشکاری بین دمای سطح زمین و موقعیت سلول پراتفاح بر آمریکای شمالی وجود دارد [۲، صص ۲۰۱-۲۰۴]. میسون و اندرسون در سال ۱۹۶۳ با بررسی نقشه‌های وضع هوای روزانه در ترازهای ۱۰۰ و ۵۰ هپ (هکتوپاسکال) سالهای ۱۹۵۷-۱۹۵۹، واچرخند آسیا در تراز ۱۰۰ هکتوپاسکال را شدیدترین و دائمی‌ترین گردش این سطح فشاری در نیمکره شمالی معرفی کردند [۳، صص ۳-۳].

1. Troposphere
2. Variations

۱۲]. در مطالعه‌ای دیگر نیاما (۱۹۶۸) با استفاده از میانگین ارتفاع ژئوپتانسیل در ماه اوت برای ۹ سال، مورفولوژی و اچرخندهای جنب حاره‌ای نیمکره شمالی را بررسی کرد و نتیجه گرفت که بین شدت و اچرخند شمال غرب اقیانوس آرام در سطح زمین و و اچرخند جنوب آسیا در تراز ۱۰۰ هکتوپاسکال ارتباط کمی وجود دارد. او همچنین بالاتر بودن دمای و اچرخند جنوب آسیا نسبت به و اچرخندهای قاره آمریکای شمالی را ناشی از اثر گرمایشی متفاوت کوههای هیمالیا و راکی دانسته است [۴، صص ۴۳۱-۴۴۱].

در سال ۱۹۸۹، بل و بوسارت با استفاده از داده‌های ۱۵ ساله (۱۹۶۳-۱۹۷۷) با تفکیک افقی ۲/۵ درجه ارتفاع ژئوپتانسیل، اقلیم شناسی مراکز چرخند و و اچرخند بسته تراز ۵۰۰ هکتوپاسکال در نیمکره شمالی را مطالعه و مشاهده کردند که مراکز و اچرخند بسته غالباً در عرضهای جنب حاره استقرار یافته و بیشینه‌های ارتفاعی آنها در طی نیمه گرم سال بر روی خشکیهای بشدت گرم شده آمریکای شمالی، شمال آفریقا و آسیا استقرار می‌یابند [۵، صص ۲۱۴۲-۲۱۶۳]. تا اواسط سال ۱۹۹۵ بیشتر مطالعات مربوط به پرفشارهای جنب حاره ای تابستانه بویژه در منطقه آسیا به بررسی ویژگی‌های آن در ارتباط با مانسون آسیایی مربوط می‌شد [۶، صص ۳۱-۳۵؛ ۷، صص ۱۳۴۲-۱۳۴۷؛ ۸، صص ۲۳۴-۲۴۹؛ ۹، صص ۱۴-۱۹؛ ۱۰، صص ۲۰۵-۲۲۰]. دیویس و همکاران در سال ۱۹۹۷ با استفاده از روش تحلیل مؤلفه اصلی، داده‌های شبکه‌بندی شده روزانه فشار تراز دریا در سالهای ۱۸۹۹-۱۹۹۰ را برای تعیین ساختار مکانی و اچرخند آזור مورد بررسی قرار دادند. نتایج نشان داد که پرفشار آזור یک الگوی تابستانه به طوری که پرفشار به صورت یک سلول روی اقیانوس اطلس مرکزی قرار می‌گیرد و یک الگوی زمستانه را که دو سلول یکی روی جنوب شرق ایالات متحده و دیگری بر روی غرب مراکش مستقر می‌شوند از خود نشان می‌دهد [۱۱، صص ۷۲۸-۷۴۴]. در سال ۲۰۰۲ زانگ و وو با به کار گیری داده‌های میانگین ۵ روزه با تفکیک افقی ۲/۵ درجه از سال ۱۹۸۰-۱۹۹۴ فعالیت‌های پرفشار جنوب آسیا را بررسی و نتیجه گرفتند که پرفشار جنوب آسیا بسته به موقعیت قرارگیری خود به دو الگوی تبتی و ایرانی تقسیم می‌شود. آنها شکلگیری الگوی تبتی را بیشتر در رابطه با گرمایش دررو بر روی فلات تبت و استقرار الگوی ایرانی را بیشتر همراه با گرمایش بی دررو در جو آزاد و گرمایش دررو در نزدیکی سطح زمین عنوان کردند [۱۲، صص ۷۳۳-۷۴۴]. کوان و همکاران در سال ۲۰۰۲ وردش فصلی پرفشار جنوب آسیا را بررسی و ضمن تأیید نتایج زانگ و وو جایگاه پرفشار جنوب آسیا را در ارتباط با

بیشینه گرمایش فصلی برآورد کردند [۸۲۱-۸۳۶]. در یکی از آخرین مطالعات انجام شده، گالارنیو و همکاران در سال ۲۰۰۶، اقلیم شناسی ۵۴ ساله (۱۹۵۰-۲۰۰۳) و اچرخندهای بسته عرضهای جنب حاره و میانی را در ۳ تراز ۸۵۰، ۵۰۰ و ۲۰۰ هکتوپاسکال بررسی کردند. نتایج بررسی فوق نشان داد که و اچرخندهای بسته تراز ۲۰۰ هکتوپاسکال فقط در طی فصل تابستان بر روی قاره‌های مناطق جنب حاره ایجاد می‌شوند؛ در حالی که و اچرخندهای بسته تراز ۵۰۰ هکتوپاسکال در طی تمامی فصول بر روی اقیانوسهای جنب حاره و در فصل تابستان بر روی قاره‌های جنب حاره ایجاد می‌شوند. و اچرخندهای بسته تراز ۸۵۰ هکتوپاسکال نیز در مناطق اقیانوسی در زیر ناوه تراز بالا ایجاد می‌شوند [۱۴].

مرور تحقیقات انجام شده در رابطه با پرفشارهای جنب حاره در خاورمیانه و ایران، بیانگر کمبود مطالعات و نقص و شکاف علمی قابل ملاحظه‌ای در این رابطه می‌باشد. از معدود مطالعات انجام یافته در ایران می‌توان به بررسی حجازی زاده (۱۳۷۲) اشاره کرد. وی با استفاده از نقشه‌های همدیدی تراز ۵۰۰ هکتوپاسکال، موقعیت مکانی حد شمالی و شرقی پرفشار جنب حاره، ارتباط آن با تاوه قطبی و اثر آن بر بارشهای ایران را بررسی کرده و پربند ۵۸۴ ژئوپتانسیل دکامتر را معرف حد شمالی پرفشار جنب حاره دانسته است [۱۵]. با توجه به موارد فوق سؤالاتی که در مقاله حاضر مطرح بوده عبارتند از:

- ۱- وردشهای زمانی و مکانی پرفشارهای جنب حاره در منطقه مطالعه شده چگونه است؟
 - ۲- آیا پرفشارهای جنب حاره‌ای مستقر روی آسیا و آفریقا در ترازهای مختلف و ردسپهر، از نظر موقعیت جغرافیایی محل استقرار بر یکدیگر انطباق دارند؟
- با توجه به نقش انکارناپذیر پرفشار جنب حاره در اقلیم کشور، هدف اصلی پژوهش حاضر بررسی ویژگیهای جغرافیایی پرفشار جنب حاره روی منطقه آسیا- آفریقا و وردش- های زمانی و مکانی آن است. به این منظور ابتدا موقعیت متوسط پرفشار جنب حاره در ترازهای مختلف و ردسپهر بررسی شده و سپس فراوانی مرکز پرفشار از نظر زمانی و مکانی مورد توجه قرار می‌گیرد. در ادامه خط پشته پرفشار جنب حاره به عنوان معیاری برای بررسی موقعیت مکانی آن بررسی می‌شود

۲- مواد و روشها

به منظور بررسی وضعیت پرفشار جنب حاره بر ایران و تعیین ارتباط آن با مراکز پرفشار مجاور و همچنین به دست آوردن یک دید جامع، منطقه مطالعه شده از طول جغرافیایی ۶۰ درجه غربی تا ۱۲۰ درجه شرقی و عرض جغرافیایی صفر تا ۴۵ درجه شمالی انتخاب شد. پرفشارهای جنب حاره ویژگی غالب مناطق جنب حاره در دوره گرم سال می باشند. برای آنکه جابه جایی ماهانه موقعیت مرکز پرفشار و خط پشته آن بویژه در ماههای انتقالی از فصل بهار به تابستان و همچنین به پاییز بخوبی مشخص شود، علاوه بر سه ماه تابستان، گوه‌های میانگین ۳۰ ساله و سال به سال دو ماه آخر بهار (آوریل- مه) و دو ماه اول پاییز (سپتامبر- اکتبر) نیز مطالعه شد.

داده‌های استفاده شده در این پژوهش، داده‌های دوباره تحلیل شده با تفکیک افقی ۲/۵ در یک دوره ۳۰ ساله (۱۹۷۱-۲۰۰۰) است که از مرکز پیش‌بینی محیطی / مرکز ملی پژوهشهای جوی (NCEP/NCAR) تهیه شد [۱۶، صص ۲۴۷-۲۶۸]. به منظور تعیین موقعیت مکانی مرکز و خط پشته پرفشار جنب حاره، از داده‌های ماهانه ارتفاع ژئوپتانسیل و مؤلفه‌های مداری و نصف‌النهاری باد در چهار تراز ۱۰۰، ۵۰۰، ۲۰۰ و ۱۰۰ هکتوپاسکال استفاده شد.

مرکز پرفشار جنب حاره و خط پشته آن به روشهای زیر برآورد شد.

۱- مرکز پرفشار جنب حاره نقطه شبکه‌ای در نظر گرفته شد که بیشترین ارتفاع ژئوپتانسیل را در مقایسه با سایر نقطه شبکه‌های مجاور دارا بوده و موقعیت جغرافیایی آن با طول و عرض بیان شده است. بیشینه ارتفاع ژئوپتانسیل معمولترین معیار برای تعیین مرکز پرفشار جنب حاره محسوب می‌شود [۵، صص ۲۱۴۲-۲۱۶۳؛ ۱۲، صص ۷۳۳-۷۴۴؛ ۱۳، صص ۸۲۱-۸۳۶؛ ۱۷، صص ۵۵۸-۵۷۰؛ ۱۸، صص ۷۳۳-۷۴۴]. شایان ذکر است که در صورت وجود بیشینه‌های متعدد در هر مورد مشاهداتی، با شرط وجود اختلاف حداقل ۱۰ ژئوپتانسیل متر در شبکه‌های حد فاصل بین دو بیشینه مجاور، هر دو به عنوان مرکز پرفشار محسوب شده‌اند.

۲- خط پشته پرفشار جنب حاره در جایی ترسیم شد که مؤلفه باد مداری برابر با صفر بوده و در بالای این خط تغییرات آن در جهت نصف‌النهاری مثبت و در زیر آن منفی بوده است. به عبارت دیگر دو شرط زیر برای تعیین خط پشته در نیمکره شمالی لازم می باشد [۱، صص ۵۶۰]:

$$\begin{aligned} (a) \quad & u = 0 \quad ; \quad \text{و} \\ (b) \quad & \frac{\partial u}{\partial y} > 0 \end{aligned} \quad (1)$$

به منظور تبیین بهتر پرفشارهای جنب حاره تابستانه، مقادیر منفی تاوایی نسبی برای تشخیص مراکز با بیشینه گردش و اچرخندی استفاده شد. مقادیر تاوایی نسبی برحسب وارون ثانیه بیان و از رابطه زیر محاسبه می‌شود [ص ۱۹، ۵۰۲]:

$$\zeta_r = \frac{\Delta v}{\Delta x} - \frac{\Delta u}{\Delta y} \quad (2)$$

۳- تجزیه و تحلیل

۳-۱- موقعیت متوسط پرفشار جنب حاره

بررسی نقشه متوسط ۳۰ ساله (۱۹۷۱-۲۰۰۰) ارتفاع ژئوپتانسیل و تاوایی تراز ۱۰۰۰ هکتوپاسکال برای فصل تابستان (ژوئن- ژوئیه- اوت)، نشاندهنده استقرار سلول پرفشاری در شرق اقیانوس اطلس است. محور اصلی این پرفشار همان‌طوری‌که شکل ۱- الف نشان می‌دهد، در عرض جغرافیایی ۳۵ درجه شمالی قرار دارد. متوسط ارتفاع ژئوپتانسیل در مرکز این پرفشار - که پرفشار آزور نامیده می‌شود- به ۲۱۰ ژئوپتانسیل متر (حدود ۱۰۲۵ هکتوپاسکال) می‌رسد. در واقع در منطقه مطالعه شده در تراز زیرین جو، سلول پرفشار آزور تنها مرکز پرفشار دوره گرم سال محسوب می‌شود. تاوایی نسبی در مرکز پرفشار نیز به حدود ۰,۰۰۰۰۰۹- بر ثانیه می‌رسد که نشانگر گردش و اچرخندی شدید در این منطقه است (شکل ۱- الف).

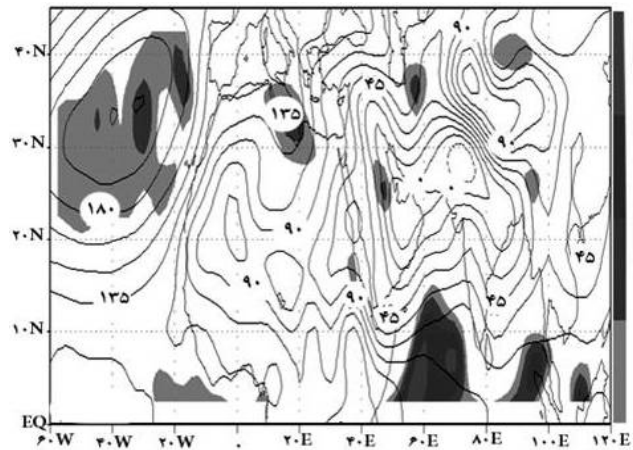
شکل ۱- ب متوسط ارتفاع ژئوپتانسیل و تاوایی نسبی منفی در تراز ۵۰۰ هکتوپاسکال را نشان می‌دهد، به‌طوری‌که در شکل دیده می‌شود، سلول پرفشاری با بیشینه ۵۹۱۰ ژئوپتانسیل متر روی شمال غرب آفریقا و یک سلول کوچکتر نیز با پربند ۵۸۹۰ ژئوپتانسیل متر روی شبه جزیره عربستان مستقر است. بررسی تاوایی در این تراز نشاندهنده چند منطقه با تاوایی منفی زیاد می‌باشد. از آنجایی که تاوایی منفی بیانگر گردش و اچرخندی است، بنابراین سه منطقه شمال غرب آفریقا، ایران و عربستان دارای بیشترین شدت گردش و اچرخندی می‌باشند.

نکته جالب آنکه مقدار تاوایی منفی روی ایران همچون شمال غرب آفریقا به حداقل خود، یعنی ۰,۰۰۰۰۰۲- بر ثانیه می‌رسد که از میزان تاوایی منفی روی عربستان کمتر است. بررسی

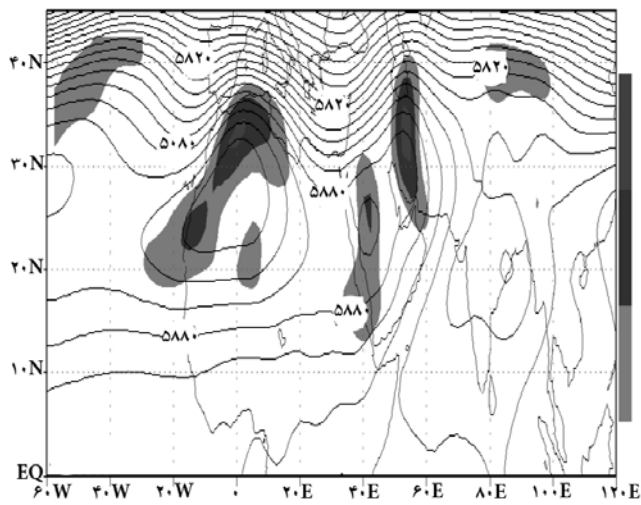
ارتفاع ژئوپتانسیل و تاوایی در این تراز نشان می‌دهد که گرچه در این نقشه روی ایران سلول پرفشار مستقلی دیده نمی‌شود و در ظاهر زبانه ای از سلولهای پرفشار آفریقا و عربستان به روی ایران کشیده شده است، اما در مقایسه با پرفشار عربستان، وجود تاوایی منفی بیشتر همراه با گردش و اچرخندی شدیدتر نشاندهنده ماهیت متفاوت الگوی گردش جو بر روی منطقه ایران است.

بررسی ارتفاع ژئوپتانسیل در تراز ۲۰۰ هکتوپاسکال بیانگر وجود یک سلول پرفشار بسیار وسیع بر روی جنوب آسیا است که از سمت غرب تا مرکز آفریقا نیز امتداد یافته است. محور پرفشار تقریباً در عرض جغرافیایی ۲۷ درجه شمالی قرار گرفته و ارتفاع ژئوپتانسیل مرکز آن به بیش از ۱۲۵۴۰ ژئوپتانسیل متر می‌رسد. بیشترین تاوایی منفی نیز با مقدار ۰/۰۰۰۰۲۵- بر ثانیه در دو منطقه یکی بر روی نیمه غربی ایران-عراق و دیگری روی فلات تبت در غرب چین مشاهده می‌شود (شکل ۱-ج).

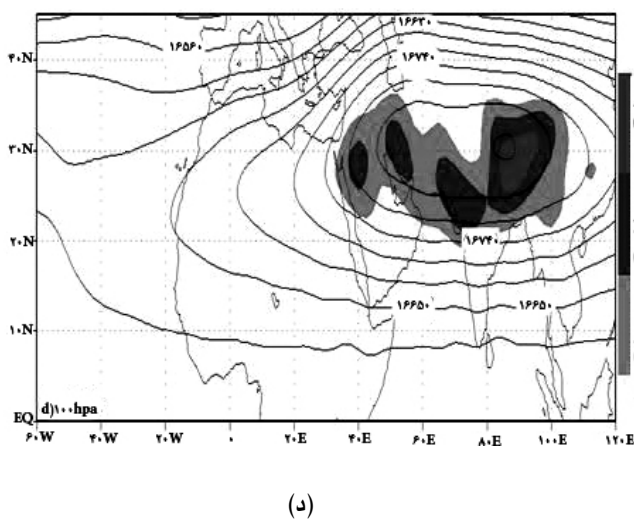
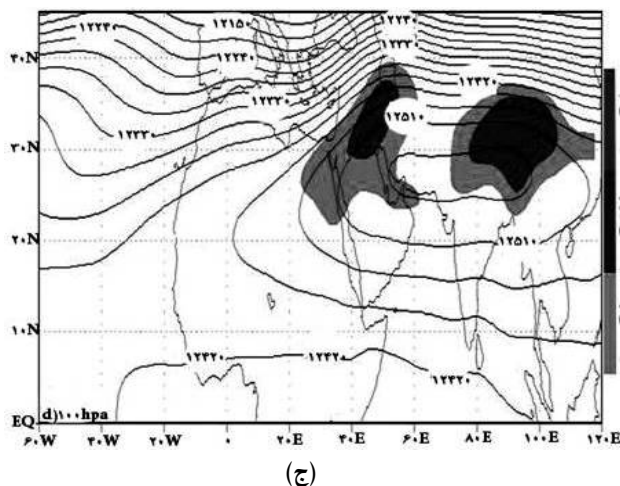
تراز ۱۰۰ هکتوپاسکال الگویی نسبتاً مشابه با تراز ۲۰۰ هکتوپاسکال را نشان می‌دهد (شکل ۱-د). در این تراز پرفشار مستقر روی جنوب آسیا بسیار وسیعتر شده است. به طوری که از غرب تا اقیانوس اطلس و از شرق تا مرز منطقه مطالعه شده امتداد یافته است. در این تراز، محور پرفشار به عرضهای شمالی‌تر کشیده شده و به عرض جغرافیایی ۳۰ درجه می‌رسد. پربند ۱۶۸۰۰ ژئوپتانسیل متر به عنوان سلول مرکزی پرفشار در این تراز، از شرق فلات تبت تا غرب ایران را در بر گرفته است و سلول کوچکی نیز بر روی فلات تبت در شرق نصف-النهار $80^{\circ}E$ با ۱۶۸۳۰ ژئوپتانسیل متر مشاهده می‌شود.



(الف)



(ب)



شکل ۱ میانگین ۳۰ ساله (۱۹۷۱-۲۰۰۰) فصل تابستان (ژوئن-ژوئیه-اوت) ارتفاع ژئوپتانسیل و تاوایی نسبی منفی. شکلهای الف - د بترتیب مربوط به ترازهای ۱۰۰، ۵۰۰، ۱۰۰۰ و ۲۰۰ هکتوپاسکال می باشند. واحدا ارتفاع ژئوپتانسیل gpm و واحد تاوایی S^{-1} است.

بررسی تاوایی در این تراز نشان می‌دهد که شدیدترین گردش واچرخندی و بیشترین مقادیر تاوایی منفی با سلول اصلی پرفشار جنب حاره کاملاً انطباق دارد، به طوری که تاوایی منفی کمتر از $0/00002$ - بر ثانیه به صورت کمربندی از شرق فلات تبت تا غرب خاورمیانه را تحت تأثیر گردش واچرخندی خود قرار داده و بیشینه آن روی فلات تبت، شمال غرب هند-پاکستان، جنوب غرب ایران و شمال شبه جزیره عربستان مشاهده می‌شود. بررسی الگوهای ژئوپتانسیلی در ترازهای فوق بیانگر آن است که تفاوت‌های آشکاری در مراکز پرفشار در سطح زمین، وردسپهر میانی و فوقانی وجود دارد. در این میان دو تراز ۲۰۰ و ۱۰۰ هکتوپاسکال (که نمایانگر ترازهای فوقانی وردسپهر هستند) الگوی مشابهی را به نمایش می‌گذارند.

برای بررسی وضعیت متوسط ماهانه پرفشار جنب حاره، وضعیت ارتفاع ژئوپتانسیل و تاوایی آن از ماه آوریل تا ماه اکتبر در چهار تراز ۱۰۰۰، ۵۰۰، ۲۰۰ و ۱۰۰ هکتوپاسکال بررسی شد. به دلیل زیادبودن تعداد نقشه‌ها (۴ نقشه برای هر ماه، در مجموع ۲۸ نقشه)، در اینجا از ارائه نقشه مربوط به هر ماه صرفنظر و تنها نتایج بررسیها در جدولهای ۱ و ۲ ارائه شده است.

جدول ۱ ویژگیهای جغرافیایی میانگین ۳۰ ساله (۱۹۷۱-۲۰۰۰) مرکز پرفشار و تاوایی نسبی آن در دو تراز ۱۰۰۰ و ۵۰۰ هکتوپاسکال

تراز	ماه	ویژگیهای مرکز پرفشار				تاوایی نسبی (واحد: S^{-1})		
		ارتفاع ژئوپتسنسیل (واحد: gpm)	جایگاه جغرافیایی	عرض جغرافیایی	طول جغرافیایی	بیشینه تاوایی منفی	طول جغرافیایی	
۱۰۰۰ ه.پ	آوریل	۱۹۳/۸	اقیانوس اطلس	۳۳/۷	-۳۵/۰	-۱/۳۳e-۰/۰	۶۵ ۱۷/۵	
	مه	۲۰۴/۴	اقیانوس اطلس	۳۴/۰	-۳۵/۷	-۱/۳۰e-۰/۰	۵۰ ۳۲/۵	
	ژوئن	۲۱۴/۴	اقیانوس اطلس	۳۳/۷	-۳۵/۷	-۱/۳۴e-۰/۵	۴۷/۵ ۳۲/۵	
	ژوئیه	۲۲۴/۶	اقیانوس اطلس	۳۵/۲	-۳۸/۰	-۱/۲۶e-۰/۵	-۳۰ ۲۷/۵	
	اوت	۲۰۸/۴	اقیانوس اطلس	۳۵/۲	-۳۶/۷	-۱/۲۰e-۰/۵	-۱۷/۵ ۳۲/۵	
	سپتامبر	۱۹۳/۶	اقیانوس اطلس	۳۵/۵	-۳۱/۳	-۱/۱۷e-۰/۵	۴۷/۵ ۲۵	
	اکتبر	۱۸۹/۰	اقیانوس اطلس	۳۵/۴	-۳۴/۳	-۱/۱۹e-۰/۵	۱۱۲/۵ ۲۵	
	۵۰۰ ه.پ	آوریل	۵۸۷۴/۱ ۵۸۷۶/۵	-	۱۵/۷ ۱۵/۳	۲/۵ ۵۱/۴	-۱/۷۹e-۰/۵ -۱/۷۷e-۰/۵	-۲/۵ ۱۱۲/۵
		مه	۵۸۹۲/۴ ۵۸۹۰/۰	غرب آفریقا جنوب عربستان	۱۸/۴ ۲۰/۶	۱/۸ ۴۹/۱	-۲/۱۰e-۰/۵ -۱/۸۸e-۰/۵	۴۵ ۱۰

ادامه جدول ۱

تراز	ماه	ویژگی های مرکز پرفشار			تاوایی نسبی (واحد: S^{-1})		
		ارتفاع ژئوپیتاسیل (واحد: gpm)	جایگاه جغرافیایی	عرض جغرافیایی	طول جغرافیایی	بیشینه تاوایی منفی	طول جغرافیایی
۵۰۰ هپ	ژوئن	۵۹۱۷/۵	شمال غرب	۲۴/۱	۴/۹	-۲/۳۵e-۰/۵	۵۷/۵
		۵۸۹۲/۶	آفریقا	۲۵/۴	۴۸/۳	-۲/۱۷e-۰/۵	۴۲/۵
			مرکز عربستان			-۱/۸۸e-۰/۵	-۱۲/۵
	ژوئیه	۵۹۳۷/۳	شمال غرب	۳۰/۳	-۱/۱	-۲/۶۹e-۰/۵	۵۲/۵
		۵۸۹۲/۷	آفریقا جنوب غرب ایران	۳۲۰/۸	۵۰/۳	-۲/۵۲e-۰/۵	.
	اوت	۵۹۳۱/۷	شمال غرب	۳۰/۳	-۱/۴	-۲/۵۶e-۰/۵	-۲/۵
۵۸۹۸/۷		آفریقا غرب ایران- عراق	۲۸/۹	۴۶/۰	-۲/۴۳e-۰/۵	۵۲/۵	
سپتامبر	۵۹۰۰/۴	شمال غرب	۲۵/۵	-۷/۸	-۲/۱۲e-۰/۵	۴۲/۵	
	۵۸۹۵/۹	آفریقا عربستان	۲۶/۱	۴۱/۰	-۱/۷۹e-۰/۵	۵۵	
اکتبر	۵۸۷۵/۴	غرب آفریقا	۲۰/۷	-۱۸/۶	-۱/۸۳e-۰/۵	۱۱۲/۵	
	۵۸۸۱/۸	عربستان	۲۱/۷	۴۹-۳	-۱/۶۵e-۰/۵	۴۵	
					-۱/۵۵e-۰/۵	۵۷/۵	

جدول ۲ ویژگی‌های جغرافیایی میانگین ۳۰ ساله (۱۹۷۱-۲۰۰۰) مرکز پرفشار و تاوایی نسبی آن در دو تراز ۱۰۰ و ۲۰۰ هکتوپاسکال

تراز	ماه	ویژگی‌های مرکز پرفشار					
		ارتفاع ژئوپتانسیل (واحد: gpm)	جایگاه جغرافیایی	عرض جغرافیایی	طول جغرافیایی	بیشینه تاوایی منفی	طول جغرافیایی
۲۰۰ هکتوپاسکال	آوریل	۱۲۴۶۵/۷	-	۱۱/۸	۱۱۵/۷	-۲/۳۳e-۰/۵	۲۰
		۱۲۴۶۲/۹		۱/۴	-۷/۹	-۲/۱۱e-۰/۵	۲۰
		۱۲۴۳۸/۷		۲/۷	۳۵/۶		
	مه	۱۲۴۹۱/۴	-	۱۷/۳	۱۰۵/۲	-۲/۰۵e-۰/۵	-۲/۵
		۱۲۴۶۸/۳		۶/۳	-۱۵/۰	-۲/۳۷e-۰/۵	۱۰۰
	ژوئن	۱۲۵۳۶/۹	شمال برمه	۲۴/۵	۹۶/۸	-۲/۳۰e-۰/۵	۴۷/۵
		۱۲۵۲۹/۴	جنوب شرق ایران	۲۵/۶	۶۲/۱	-۲/۳۰e-۰/۵	۹۷/۵
	ژوئیه	۱۲۵۷۸/۸	شرق ایران	۳۰/۲	۵۹/۵۳	-۲/۳۱e-۰/۵	۵۰
		۱۲۵۷۲/۰	فلات تبت	۲۸/۸	۸۷/۵	-۲/۱۶e-۰/۵	۸۵
	اوت	۱۲۵۷۲/۵	فلات تبت	۲۹/۲	۸۶/۷	-۲/۲۳e-۰/۵	۴۷/۵
		۱۲۵۶۴/۵	شرق ایران	۲۹/۶	۶۲/۳	-۲/۱۳e-۰/۵	۸۷/۵
	سپتامبر	۱۲۵۱۱/۶	جنوب ایران	۲۵/۸	۵۷/۵	-۲/۳۵e-۰/۵	۹۵
۱۲۵۰۸/۳		جنوب شرق فلات تبت	۲۵/۴	۹۱/۱	-۲/۷۰e-۰/۵	۴۵	
اکتبر	۱۲۴۷۳/۶	-	۱۹/۲	۱۱۳/۸	-۲/۳۹e-۰/۵	۹۷/۵	
	۱۲۴۵۵/۶		۱۸/۰	۶۱/۰		۲۵	
۱۰۰ هکتوپاسکال	آوریل	۱۶۶۵۵/۹	-	۰/۰۴	۱۰۴/۱-۱۰/۲	-۲/۴۱e-۰/۵	۱۰
		۱۶۶۴۲/۷		۱۳/۳	۵۱/۲	-۱/۷۸e-۰/۵	۸۰
	۱۶۶۲۹/۹		۷/۵		-۲/۰۲e-۰/۵	۱۰۲/۵	
مه	۱۶۶۹۹/۱	برمه	۲۰/۹	۹۶/۱	-۲/۳e-۰/۵	۲/۵	
	۱۶۶۶۸/۱	شمال خلیج گینه	۷/۰	۰/۳	-۲/۲e-۰/۵	۹۲/۵	
					-۲/۲e-۰/۵	۱۱۲/۵	



ادامه جدول ۲

تراز	ماه	ویژگی های مرکز پرفشار					تاوایی نسبی (واحد: s^{-1})
		ارتفاع ژئوپتانسیل (واحد: gpm)	جایگاه جغرافیایی	عرض جغرافیایی	طول جغرافیایی	بیشینه تاوایی منفی	
۵۰۰	ژوئن	۱۶۷۹۸/۶	فلات تبت	۲۸/۳	۸۸/۸	-۳/۵۰-۰/۵	
		۱۶۷۹۴/۲	جنوب افغانستان	۲۸/۰	۶۵/۵	-۲/۸۴-۰/۵	
						-۲/۷۰-۰/۵	
۱۰۰۰	ژوئیه	۱۶۸۷۱/۱	شرق ایران	۳۳/۳	۵۷/۹	-۳/۴۱-۰/۵	
		۱۶۸۶۷/۵	فلات تبت	۳۱/۴	۸۶/۱	-۳/۱۳-۰/۵	
						-۲/۸۳-۰/۵	
۱۰۰۰	اوت	۱۶۸۴۹/۷	شرق ایران	۳۲/۰	۵۹/۱	-۳/۱۶-۰/۵	
		۱۶۸۴۴/۹	فلات تبت	۳۱/۶	۸۵/۰	-۳/۰۴-۰/۵	
						-۲/۷۸-۰/۵	
۱۰۰۰	سپتامبر	۱۶۷۴۱/۹	فلات تبت	۲۸/۰	۸۸/۸	-۳/۱۷-۰/۵	
		۱۶۷۳۴/۷	پاکستان	۲۷/۸	۶۸/۸	-۲/۵۸-۰/۵	
						-۲/۷۵-۰/۵	
۱۰۰۰	اکتبر	۱۶۶۵۲/۷	شرق برمه	۲۱/۶	۹۸/۸	-۲/۶۵-۰/۵	
		۱۶۶۱۶/۰	خلیج گینه	۸/۵	۱۴/۵	-۲/۳۸-۰/۵	

جدولهای مذکور نشان می دهند در کلیه ترازهای بررسی شده بیشینه ارتفاع ژئوپتانسیل در مرکز پرفشار مربوط به ماه ژوئیه است. بیشترین میزان تاوایی منفی نیز در دو تراز ۵۰۰ و ۲۰۰ هکتوپاسکال در ماه ژوئیه و در دو تراز ۱۰۰ و ۱۰۰۰ هکتوپاسکال در ماه ژوئن مشاهده می شود. مرکز پرفشار در تراز ۱۰۰۰ هکتوپاسکال در کلیه ماههای مورد بررسی روی اقیانوس اطلس مستقر است (جدول ۱).

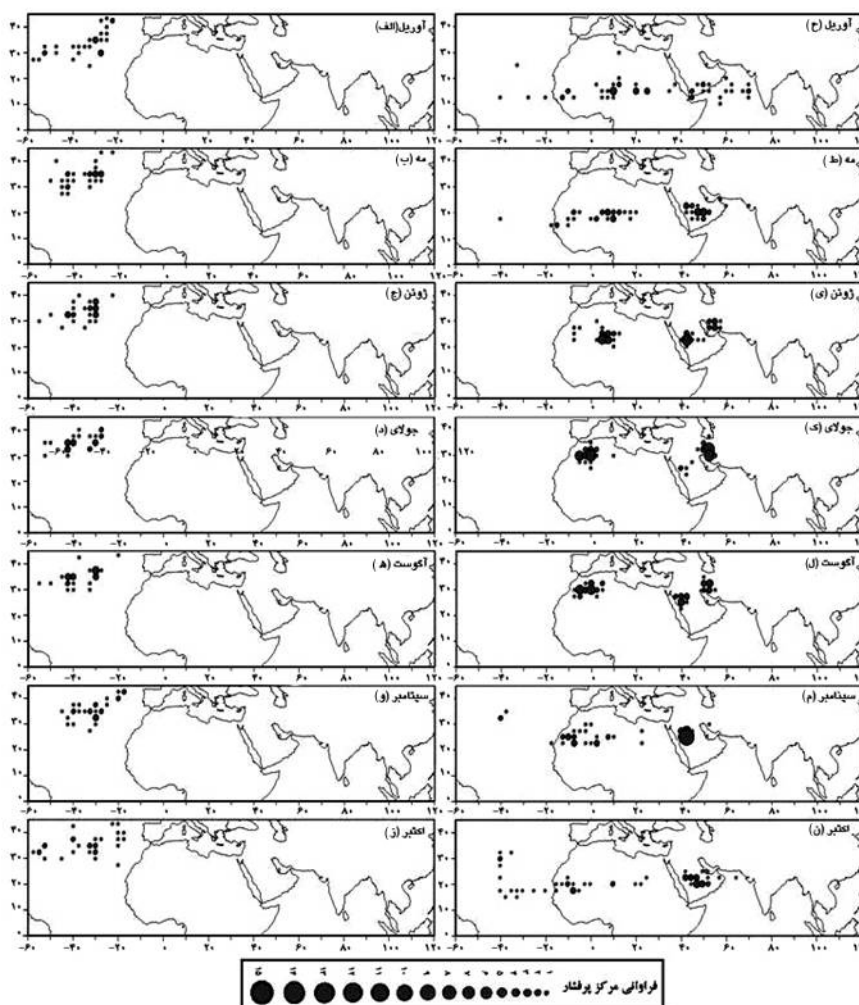
مرکز پرفشار در تراز ۵۰۰ هکتوپاسکال روی غرب- شمال غرب آفریقا، عربستان و ایران (جدول ۱) و در ترازهای ۲۰۰ و ۱۰۰ هکتوپاسکال بویژه در طی ماههای فصل تابستان به طور عمده بر روی شرق- جنوب شرق ایران و فلات تبت استقرار پیدا کرده است (جدول ۲).

۳-۲- فراوانی مرکز پرفشار جنب حاره

به منظور بررسی موقعیت جغرافیایی پرفشار جنب حاره، فراوانی مرکز پرفشار جنب حاره در طی یک دوره ۳۰ ساله (۱۹۷۱-۲۰۰۰) در منطقه مطالعه شده تعیین شد. برای آنکه جابه جایی ماهانه موقعیت مرکز پرفشار بویژه در ماههای انتقالی از فصل بهار به تابستان و همچنین به پاییز بخوبی مشخص شود، علاوه بر سه ماه تابستان، دو ماه آخر بهار (آوریل-مه) و دو ماه اول پاییز (سپتامبر-اکتبر) نیز مطالعه شد. بررسیهای اولیه نشان داد که بجز تراز ۱۰۰۰ هکتوپاسکال، در سایر ترازها گاهی در یک زمان معین دو یا چند مرکز پرفشار بسته در منطقه بررسی شده وجود دارد که تمام این مراکز به عنوان مرکز پرفشار در نظر گرفته شده است.

در بررسی فراوانی مرکز پرفشار جنب حاره در تراز ۱۰۰۰ هکتوپاسکال (شکل‌های ۲-الف تا ۲-ز) مشاهده می‌شود که مرکز پرفشار جنب حاره در این تراز در محدوده طول جغرافیایی ۶۰-۲۵W و عرض جغرافیایی ۴۵-۲۵N جایگاه پیدا کرده است، به طوری که در شکلها مشاهده می‌شود، مرکز پرفشار جنب حاره در این تراز برخلاف سایر ترازها، در تمامی ماهها از تمرکز و ثبات جغرافیایی خاصی در یک منطقه معین (شرق اقیانوس اطلس شمالی) برخوردار است.

در تراز ۵۰۰ هکتوپاسکال موقعیت قرارگیری مرکز پرفشار بجز در ماههای آوریل و اکتبر متغیر است و از طول جغرافیایی ۴۰ درجه غربی تا حدود ۷۰ درجه شرقی را در بر می‌گیرد. فراوانی مرکز پرفشار در دو ماه مه و سپتامبر که ماههای انتقالی محسوب می‌شوند، تقریباً مشابهند؛ به طوری که مرکز پرفشار در این دو ماه در دو منطقه یکی روی غرب و مرکز آفریقا و دیگری روی شبه جزیره عربستان متمرکز شده است. در ماههای تابستان مرکز پرفشار به عرضهای جغرافیایی بالاتر (بویژه بر روی آفریقا) جابه‌جا شده است و علاوه بر دو منطقه فوق مرکز پرفشاری نیز روی ایران ظاهر می‌شود (شکل‌های ۲-ح تا ۲-ن). استقرار این مرکز پرفشار بر روی ایران، وجود تاوایی منفی زیاد در تراز ۵۰۰ هکتوپاسکال را- که در بخش پیشین ملاحظه شد (شکل ۱-ب)- توجیه می‌کند.

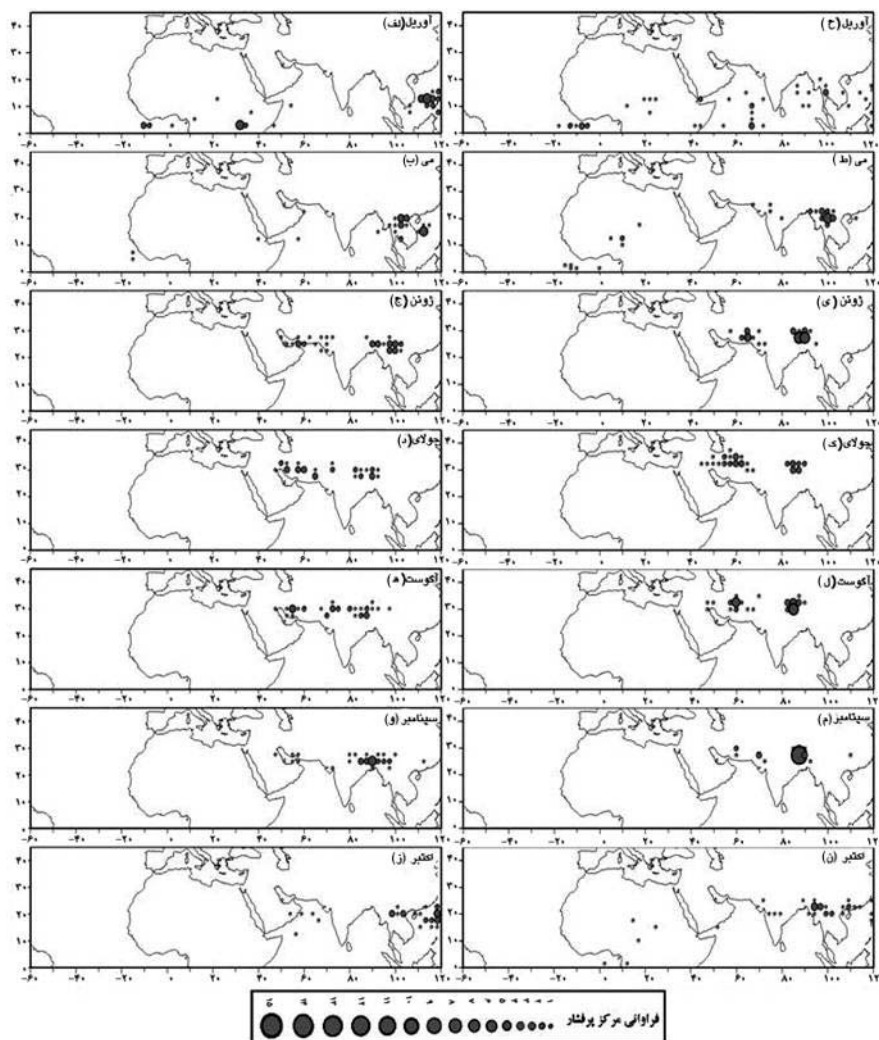


شکل ۲ فراوانی ۳۰ ساله (۱۹۷۱-۲۰۰۰) موقعیت جغرافیایی مرکز پرفشار جنب حاره از ماه آوریل تا اکتبر. شکل‌های ۲- الف تا ۲- ز (سمت راست) مربوط به تراز ۱۰۰۰ هکتوپاسکال و شکل‌های ۲- ح تا ۲- ن (سمت چپ) مربوط به تراز ۵۰۰ هکتوپاسکال است.

بررسی فراوانی مراکز پرفشار جنب حاره در تراز ۲۰۰ هکتوپاسکال بیانگر آن است که در طی ماه آوریل، مرکز پرفشار جنب حاره در جنوب شرق آسیا روی دریای چین جنوبی قرار داشته (شکل ۳- الف)، در ماه مه بر روی هندوچین استقرار یافته (شکل ۳- ب) و از ماه ژوئن ضمن جابه‌جایی به سمت شمال، در جهت شمال غرب به سوی مناطق خشکی غرب آسیا حرکت کرده است (شکل ۳- ج). این مراکز در طی ماههای ژوئیه و اوت به شمالی‌ترین موقعیت خود رسیده و به شکل کمربندی از شرق فلات تبت تا غرب ایران، بالاتر از مدار ۳۰ درجه شمالی، استقرار پیدا کرده‌اند (شکل‌های ۳- د، ۳- ه). در طی ماههای سپتامبر و اکتبر این مراکز به طور مجدد به عرضهای جنوبی‌تر باز می‌گردند (شکل‌های ۳- و، ۳- ز).

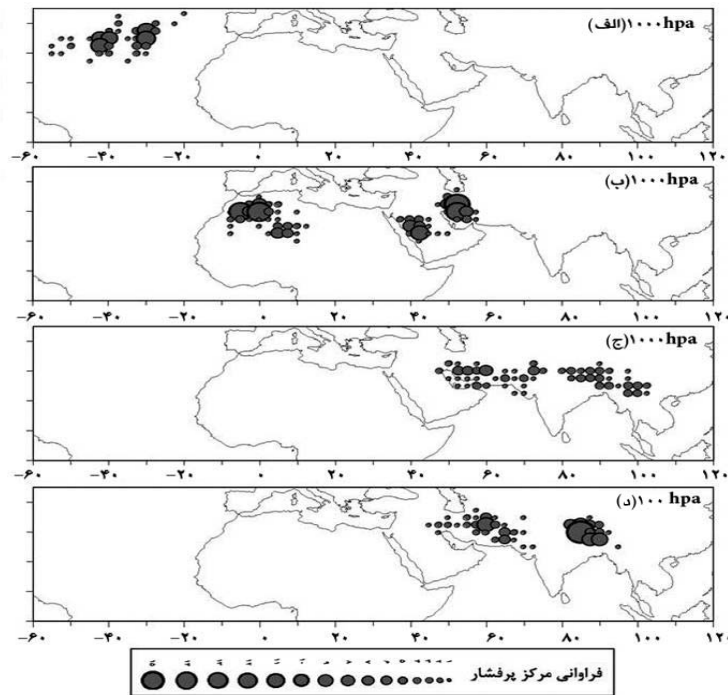
بررسی فراوانی مرکز پرفشار جنب حاره در تراز ۱۰۰ هکتوپاسکال نشان می‌دهد که در ماه آوریل موقعیت جغرافیایی مرکز پرفشار بسیار پراکنده است و از جنوب شرق آسیا تا خلیج گینه را در برمی‌گیرد (شکل ۳- ح). در ماه مه مرکز پرفشار جنب حاره بیشتر روی جنوب شرق آسیا (هندوچین - برمه) مستقر شده (شکل ۳- ط) و در طی ماههای ژوئن تا اوت، ضمن جابه‌جایی مرکز فوق به عرضهای شمالی‌تر، مرکز دیگری نیز در شرق فلات ایران پدیدار می‌شود (شکل‌های ۳- ی تا ۳- ل). نکته جالب در این تراز، تمرکز مرکز پرفشار بر روی مناطق جغرافیایی خاص و عدم پراکندگی آن است؛ به طوری که دو منطقه فلات تبت و فلات ایران مناطقی هستند که مرکز پرفشار به طور عمده بر روی آنها استقرار یافته است.

در ماه سپتامبر مرکز پرفشار به طور مجدد به سوی شرق مهاجرت کرده و بیشتر بر روی فلات تبت مستقر شده است (شکل ۳- م). در ماه اکتبر نیز با وجود پراکندگی موقعیت جغرافیایی مرکز پرفشار، بیشینه آن بر روی کشور برمه قرار می‌گیرد (شکل ۳- ن).



شکل ۳ این شکل مانند شکل ۲ بجز آنکه شکلهای ۳- الف تا ۳- ز (سمت راست) مربوط به تراز ۲۰۰ هکتوپاسکال و شکل های م- ح تا ۳- ن (سمت چپ) مربوط به تراز ۱۰۰ هکتوپاسکال است.

شکل ۴ فراوانی مراکز پرفشار جنب حاره را در طی فصل تابستان (ژوئن-ژوئیه-اوت) برای دوره ۳۰ ساله (۱۹۷۱-۲۰۰۰) نشان می‌دهد. همان طوری که قبلاً مشاهده شد و شکل ۴- الف نیز نشان می‌دهد در تراز ۱۰۰۰ هکتوپاسکال مرکز پرفشار جنب حاره در طی فصل تابستان به طور عمده روی اقیانوس اطلس شمالی در حدفاصل مدارهای ۳۰ - ۴۰ شمالی متمرکز می‌شود. شکل ۴- ب فراوانی مرکز پرفشار جنب حاره را در تراز ۵۰۰ هکتوپاسکال برای فصل تابستان نشان می‌دهد. همان طوری که در شکل ملاحظه می‌شود، مرکز پرفشار جنب حاره با توجه به فراوانی وقوع آن بترتیب روی شمال غرب آفریقا، ایران و شبه جزیره عربستان استقرار پیدا می‌کند. شکل ۴- ج و ۴- د مجموع فراوانی مرکز پرفشار جنب حاره فصل تابستان در تراز ۲۰۰ هکتوپاسکال را نشان می‌دهد. با توجه به شکل، حدود نیمی از مراکز پرفشار جنب حاره در این تراز روی فلات ایران واقع است. بررسی فراوانی موقعیت جغرافیایی مرکز پرفشار در ماههای تابستان در تراز ۱۰۰ هکتوپاسکال نشانگر دو مدی بودن موقعیت استقرار این مرکز بر روی فلات تبت و فلات ایران است.



شکل ۴ فراوانی ۳۰ ساله (۱۹۷۱-۲۰۰۰) موقعیت جغرافیایی مرکز پرفشار جنب حاره در فصل تابستان (ژوئن-ژوئیه-اوت).

۳-۳- تحلیل خط پشته پرفشار جنب حاره

خط پشته که بیانگر موقعیت متوسط عرضی مرکز پرفشار جنب حاره است، می تواند معیاری برای تعیین موقعیت مکانی پرفشار جنب حاره به شمار آید. خط پشته پرفشار جنب حاره حداقل جریانه‌های غربی در شمال و جریانه‌های شرقی در جنوب آن است. در برخی از ماه‌های بررسی شده به دلیل نبود پرفشار جنب حاره، خط پشته به صورت ممتد نبوده و در برخی از نصف النهارها قطع شده است (شکل ۵).

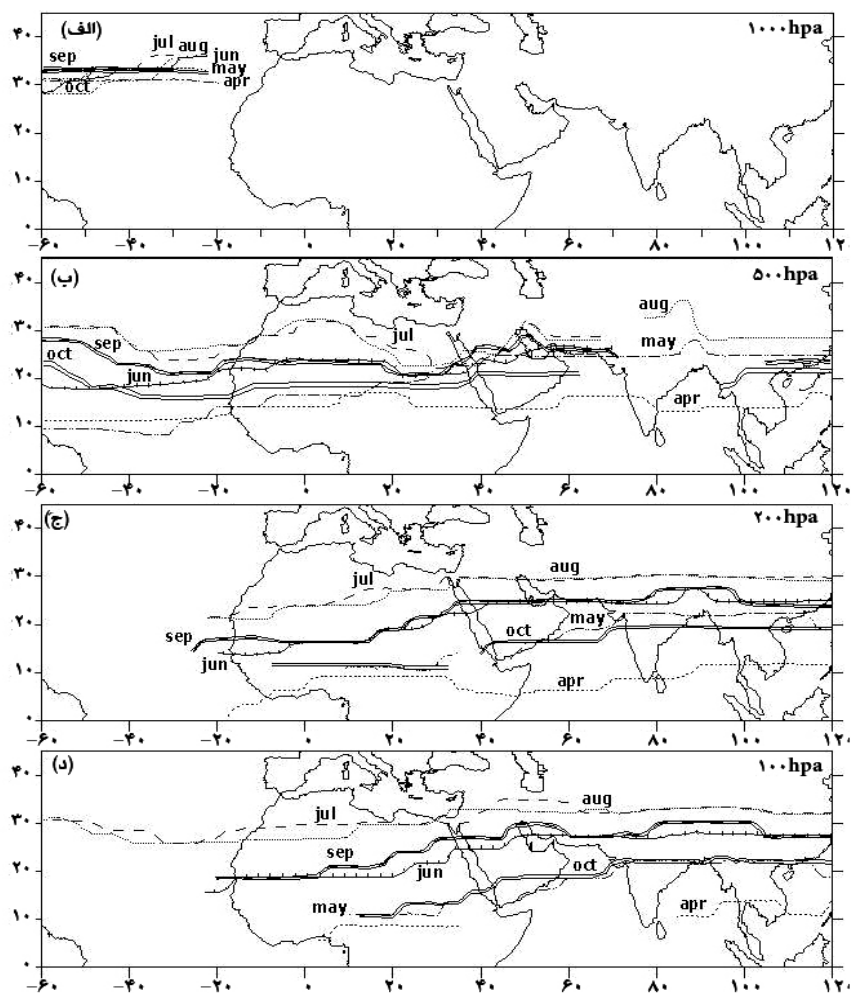
بررسی خط پشته در تراز ۱۰۰۰ هکتوپاسکال نشان می‌دهد که خط پشته در این تراز در طول جغرافیایی $60^{\circ}W$ - 20° گسترده شده و موقعیت میانگین آن در فصل تابستان در حدود

عرض جغرافیایی $32^{\circ}5'$ درجه می باشد (شکل ۵- الف). در این تراز خط پشته جابه‌جایی چندانی از نظر عرض و طول جغرافیایی نداشته و از ماه آوریل تا اوت بتدریج جابه‌جایی اندکی به سوی عرضهای جغرافیایی بالاتر داشته و در ماههای سپتامبر و اکتبر به طور مجدد به عرضهای جنوبی‌تر منتقل می‌شود.

در تراز ۵۰۰ هکتوپاسکال خط پشته گسترش مداری قابل ملاحظه‌ای داشته است؛ به طوری که از غرب تا شرق منطقه مطالعه شده را در بر می‌گیرد. در عین حال، گسترش عرضی آن به حدود ۲۵ درجه ($10^{\circ}-35^{\circ}N$) می‌رسد. بالاترین عرض جغرافیایی مشاهده شده خط پشته در این تراز مربوط به ماه اوت است که در منطقه شمال فلات تبت به بیشینه مقدار خود ($37^{\circ}5'N$) می‌رسد و کمترین عرض جغرافیایی نیز مربوط به ماه آوریل است که در حدود عرض جغرافیایی $10^{\circ}N$ مستقر است. در ماههای ژوئیه و اوت، خط پشته پرفشار جنب حاره در سه منطقه شمال آفریقا، غرب عربستان و جنوب غرب ایران و در ماههای اوت و مه در منطقه فلات تبت به سوی عرض جغرافیایی بالاتر جهش پیدا می‌کند (شکل ۵- ب).

در تراز ۲۰۰ هکتوپاسکال، خط پشته پرفشار جنب حاره در حدود $145^{\circ}E$ درجه ($120^{\circ}E$ - $25^{\circ}W$) گسترش طولی و ۲۵ درجه ($5^{\circ}-30^{\circ}N$) گسترش عرضی دارد. در این تراز خط پشته در دو ماه مه و اکتبر ممتد نبوده و در منطقه فلات اتیوپی گسیخته شده است (شکل ۵- ج). به طوری که در شکل دیده می‌شود، خط پشته در ماههای ژوئن و سپتامبر در منطقه فلات تبت به سوی عرض جغرافیایی بالاتر جهش پیدا می‌کند.

بررسی خط پشته پرفشار جنب حاره در تراز ۱۰۰ هکتوپاسکال نشان‌دهنده پیشروی آن به عرضهای جغرافیایی بالاتر نسبت به تراز ۲۰۰ هکتوپاسکال است. در این تراز خط پشته در ماه آوریل در منطقه اقیانوس هند- شاخ آفریقا دچار گسیختگی شده است. در دو ماه ژوئیه و اوت خط پشته تمام منطقه مطالعه شده را از نظر طولی دربر گرفته و در بقیه ماهها از شرق منطقه تا ساحل غربی آفریقا گسترده شده است. از نظر گسترش عرضی نیز در این تراز، خط پشته در طی ماههای مطالعه شده (آوریل- اکتبر) در حدود ۲۲ درجه ($10^{\circ}-32^{\circ}N$) گسترش عرضی دارد. بالاترین عرض جغرافیایی مشاهده شده در این تراز مربوط به ماه اوت است که در منطقه فلات ایران به بیشینه خود، یعنی به عرض جغرافیایی $32^{\circ}5'N$ می‌رسد (شکل ۵- د).



شکل ۵ میانگین ۳۰ ساله (۱۹۷۱-۲۰۰۰) خط پشته پرفشار جنب حاره. (الف-۵) تراز ۱۰۰۰ هکتوپاسکال؛ (د) ۵- ب: تراز ۵۰۰ هکتوپاسکال؛ ۵- ج: تراز ۲۰۰ هکتوپاسکال؛ ۵- د تراز ۱۰۰ هکتوپاسکال

بررسی شکل ۵ نشان می‌دهد که بیشترین جهش خط پشته از نظر عرض جغرافیایی در سه تراز ۵۰۰، ۲۰۰ و ۱۰۰ هکتوپاسکال از ماه ژوئن به ژوئیه است که در امتداد برخی

نصف النهارها حتی به ۱۰ درجه نیز می رسد.

۴- نتیجه گیری

یافته‌های تحقیق ویژگیهای جغرافیایی مراکز پرفشار جنب حاره منطقه آسیا و آفریقا را به عنوان مهمترین عامل بلافصل در اقلیم دوره گرم سال در این مناطق بیان می‌کند. بررسی پرفشار جنب حاره در ۴ تراز ۱۰۰۰، ۵۰۰، ۲۰۰ و ۱۰۰ هکتوپاسکال در منطقه مطالعه شده ($60^{\circ}W - 120^{\circ}E$) نشان داد که فقط فلات ایران در هر دو تراز میانی و فوقانی وردسپهر دارای پرفشار مستقل است. سایر مناطق از جمله فلات تبت تنها در تراز فوقانی و شمال غرب آفریقا و شبه جزیره عربستان فقط در تراز میانی وردسپهر دارای مراکز پرفشار می‌باشند. به همین ترتیب، پرفشار آزور فقط در تراز زیرین وردسپهر گسترش پیدا می‌کند. این نتیجه برخلاف تصور موجود در متون اقلیم‌شناسی ایران مبنی بر گسترش پرفشار آزور تا وردایست است [۲۰]. همچنین براساس نتایج به دست آمده، پرفشار جنب حاره ایران برخلاف یافته‌های پیشین، در هیچ تراز زبانه‌ای از پرفشار آزور نیست [۲۱، صص ۳۱۶-۳۴۶؛ ۲۲ ص ۳۶۲؛ ۲۳؛ ۲۴ صص ۷۴-۹۰]. در واقع پرفشار آزور فقط در تراز زیرین وردسپهر روی مجمع الجزایر آزور واقع در شرق اقیانوس اطلس شمالی تشکیل و در ترازهای میانی و فوقانی وردسپهر مشاهده نمی‌شود، در صورتی که پرفشار ایران در تراز میانی و بویژه فوقانی وردسپهر، یکی از مهمترین مراکز پرفشار در نیمکره شمالی به شمار می‌آید.

بررسی موقعیت جغرافیایی مرکز پرفشار جنب حاره در فصل تابستان در ترازهای مختلف وردسپهر نشان می‌دهد که در تراز ۱۰۰۰ هکتوپاسکال، مرکز پرفشار روی شرق اقیانوس اطلس از ثبات و تمرکز خاصی برخوردار است؛ در صورتی که موقعیت مرکز پرفشار در سایر ترازهای بررسی شده، در یک منطقه معین متمرکز نیست و حالت دو یا چند مدی دارد. الگوی موقعیت جغرافیایی مرکز پرفشار در فصل تابستان در ترازهای ۱۰۰۰، ۵۰۰، ۲۰۰ و ۱۰۰ هکتوپاسکال بترتیب یک مدی (شرق اقیانوس اطلس)، سه مدی (شمال غرب آفریقا- عربستان- ایران)، پراکنده (از جنوب چین تا غرب ایران) و دو مدی (فلات تبت- فلات ایران) است (شکل‌های ۴- الف تا ۴- د). این نتیجه بوضوح بیانگر آن است که پرفشارهای جنب حاره-

1. tropopause

ای مستقر بر روی آسیا و آفریقا در ترازهای مختلف وردسپهر بر یکدیگر انطباق نداشته و باید سازوکار تشکیل و تقویت متفاوتی داشته باشند.

بررسی میانگین ۳۰ ساله (۱۹۷۱-۲۰۰۰) خط پشته پرفشار جنب حاره در طی ماههای آوریل تا اکتبر در ترازهای مورد بررسی بیانگر آن است که در تمامی ترازها خط پشته در ماه آوریل در جنوبی‌ترین موقعیت خود قرار دارد. بتدریج از ماه مه به عرضهای جغرافیایی بالاتر جابه جا شده و در ماه اوت به بالاترین عرض جغرافیایی مه رسد. سپس در ماههای سپتامبر و اکتبر به طور مجدد به عرضهای جنوبی‌تر منتقل می‌شود. کمترین گسترش مداری خط پشته پرفشار جنب حاره مربوط به تراز ۱۰۰۰ هکتوپاسکال و بیشترین آن مربوط به تراز ۵۰۰ هکتوپاسکال است که بترتیب در حدود ۴۰ درجه ($60^{\circ}W-20^{\circ}$) و ۱۸۰ درجه ($120^{\circ}E-60^{\circ}W$) گسترش پیدا کرده‌اند. بیشینه عرض جغرافیایی خط پشته پرفشار جنب حاره در تمامی ترازها مربوط به ماه اوت است که در تراز ۵۰۰، ۲۰۰ و ۱۰۰ هکتوپاسکال بترتیب روی ضلع شمالی فلات تبت، منطقه وسیعی از شرق تا غرب آسیا و ایران قرار گرفته است. بیشترین جهش خط پشته از نظر عرض جغرافیایی در سه تراز ۵۰۰، ۲۰۰ و ۱۰۰ هکتوپاسکال از ماه ژوئن به ژوئیه است که در امتداد برخی نصف‌النهارها حتی به ۱۰ درجه نیز می‌رسد.

نتایج فوق در رابطه با الگوی فضایی استقرار مراکز پرفشار جنب حاره، بیانگر وجود سازوکار و ماهیت متفاوت مراکز پرفشار جنب حاره در منطقه آسیا و آفریقا در طی دوره گرم سال می‌باشد. کشف علل ظهور چنین الگوی متفاوتی، ضرورت انجام بررسیهای دقیقتر در مورد نحوه شکلگیری و تکوین پرفشارهای جنب حاره و به‌طورکلی ماهیت این پرفشارها در منطقه آسیا و آفریقا - بویژه ایران- را الزامی می‌سازد.

۵- تشکر و قدردانی

از سازمان هواشناسی کشور به دلیل حمایت‌های مالی در انجام این پژوهش تشکر می‌شود.

۶- منابع

- [1] Wu G., Liu Y., P. Liu; Formation of the summertime subtropical Anticyclone; In: C.P. Chang (Editor), East Asian Monsoon (World Scientific Series on

Meteorology of East Asia), World Scientific Publishing Company, Singapore, 2004.

- [2] Reed T. R.; Thermal aspect of the high-level anticyclone; *Monthly Weather Review*, Vol. 67, No. 7, 1939.
- [3] Mason R.B, Anderson C.E.; The development and decay of the 100 mb summertime anticyclone over southern Asia; *Monthly Weather Review*, 93, 1963.
- [4] Neyama Y.; The morphology of the subtropical anticyclone; *Journal of Meteorological Society of Japan*, Vol. 46, 1968.
- [5] Bell G. D, Bosart L. F.; A 15-year climatology of northern hemisphere 500 mb closed cyclone and anticyclone centers; *Monthly Weather Review*, Vol. 117, No. 10, 1989.
- [6] Gao, Y. Some aspects of recent research on the Qinghai-Xizang (Tibetan) Plateau Meteorology. *Bulletin of the American Meteorological Society*, Vol. 62, No. 1, 1981.
- [7] Krishnamurti T. N. ; Tropical east-west circulations during the northern summer; *Journal of Atmospheric Science*, Vol. 28, 1971.
- [8] Krishnamurti T. N., Daggupaty S. M., Fein J., Kanamitsu M., J. D Lee. ; Tibetan High and upper tropospheric tropical circulations during northern summer. *Bulletin of the American Meteorological Society*, Vol. 54, No. 12, 1973.
- [9] Yeh T. C. ; Some characteristics of the summer circulation over the Qinghai-Xizang (Tibet) Plateau and its neighborhood; *Bulletin of the American Meteorological Society*, Vol. 62, No. 1, 1981.



- [10] Yeh T. C. ; Some aspects of the thermal influences of the Qinghai-Tibetan Plateau on the Atmospheric Circulation. *Archives for Meteorology, Geophysics, and Bioclimatology, Series A*, Vol. 31, 1982.
- [11] Davis R. E., Hayden B. P., Gay D. A., Phillips W. L., Jones G. V. ; The north atlantic subtropical anticyclone; *Journal of Climate*, Vol. 10, No. 4, 1997.
- [12] Zhang Q ,Wu G.; The bimodality of 100hPa south asia high and its relationship to the climate anomaly over east asia in summer; *Journal of the Meteorological Society of Japan*, Vol. 80, No. 4, 2002.
- [13] Qian Y., Zhang Q., Yao Y., Zhang X. ; Seasonal variation and heat Preference of the south asia high; *Advances in Atmospheric Sciences*, Vol. 19, 2002.
- [14] Galarneau T. J., Bosart L. F., Ayyer A. R. ; Closed anticyclones of subtropical and middle latitude: A 54-year (1950-2003) climatology and three case studies; *Submitted to J. Climate*, 2006.
- [۱۵] حجازی زاده، ز.ب؛ بررسی سینوپتیکی نوسانات فشار زیاد جنب حاره؛ رساله دکتری جغرافیای طبیعی، دانشگاه تربیت مدرس، ۱۳۷۲.
- [16] Kistler R., Kalnay E., Collins W., Saha S., White G., Woollen J., ; The NCEP/NCAR50-year reanalysis: Monthly means CD-ROM and documentation; *Bulletin of the American Meteorological Society*, Vol. 82, 2001.
- [17] Parker S. S., Hawes J. T., Colucci S. J., Hayden B. P; Climatology of 500 mb Cyclones and Anticyclones, 1950-85. *Monthly Weather Review*, 117, 1989.
- [18] Zhang Q.,Wu G. ; The Bimodality of 100hPa south asia high and its relationship to the climate anomaly over east asia in summer; *Journal of the Meteorological Society of Japan*, Vol. 80, No. 4, 2002.
- [19] Stull R.; *Meteorology for scientists and engineers (second edition ed.)*: Brooks/Cole, 502p, 2000.

فصلنامه مدرس علوم انسانی _____ دوره ۱۳، شماره ۱، بهار ۱۳۸۸

[۲۰] بوشر، ک؛ آب و هوای کره زمین؛ ترجمه: بهلول علیجانی؛ ج ۲، انتشارات سمت، ۱۳۷۳.
[21] Snead R.; Weather pattern in southern west Pakistan, archives for Meteorology, Geophysics and Bioclimatology; Series B, Vol. 16, 1988.

[22] Lydolph P. E.; Climate of the soviet union; in: World Servey of Climatology, Vol. 7, Elsevier Scientific Pub., 362p, 1977.

[۲۳] علیجانی، ب؛ آب و هوای ایران؛ انتشارات پیام نور، ۱۳۷۶.

[۲۴] سلیقه، م؛ مدل سازی اثرهای آب و هوایی کم فشارهای حرارتی در منطقه جنب حاره؛

فصلنامه تحقیقات جغرافیایی، ش ۷۰، ۱۳۸۲